

Starkniederschlagshöhen und -spenden gemäß KOSTRA-DWD-2020

Rasterfeld 176117

(Zeile 176, Spalte 117)

Regenspende und Bemessungsniederschlagswerte in Abhängigkeit von Wiederkehrzeit T und Dauerstufe D

| Dauerstufe D | | Wiederkehrzeit T | | | | | | | | | | | | | | | | | |
|--------------|-----|------------------|------------|------|------------|------|------------|------|------------|------|------------|-------|------------|-------|------------|-------|------------|-------|------------|
| | | 1 a | | 2 a | | 3 a | | 5 a | | 10 a | | 20 a | | 30 a | | 50 a | | 100 a | |
| min | Std | mm | l / (s ha) | mm | l / (s ha) | mm | l / (s ha) | mm | l / (s ha) | mm | l / (s ha) | mm | l / (s ha) | mm | l / (s ha) | mm | l / (s ha) | mm | l / (s ha) |
| 5 | | 8,0 | 266,7 | 9,9 | 330,0 | 11,2 | 373,3 | 12,8 | 426,7 | 15,1 | 503,3 | 17,4 | 580,0 | 19,0 | 633,3 | 21,0 | 700,0 | 24,0 | 800,0 |
| 10 | | 9,7 | 161,7 | 12,0 | 200,0 | 13,5 | 225,0 | 15,4 | 256,7 | 18,2 | 303,3 | 21,1 | 351,7 | 23,0 | 383,3 | 25,5 | 425,0 | 29,0 | 483,3 |
| 15 | | 10,7 | 118,9 | 13,4 | 148,9 | 15,0 | 166,7 | 17,1 | 190,0 | 20,2 | 224,4 | 23,4 | 260,0 | 25,5 | 283,3 | 28,2 | 313,3 | 32,2 | 357,8 |
| 20 | | 11,5 | 95,8 | 14,3 | 119,2 | 16,1 | 134,2 | 18,4 | 153,3 | 21,7 | 180,8 | 25,1 | 209,2 | 27,4 | 228,3 | 30,3 | 252,5 | 34,5 | 287,5 |
| 30 | | 12,7 | 70,6 | 15,8 | 87,8 | 17,8 | 98,9 | 20,3 | 112,8 | 24,0 | 133,3 | 27,7 | 153,9 | 30,2 | 167,8 | 33,4 | 185,6 | 38,1 | 211,7 |
| 45 | | 14,0 | 51,9 | 17,4 | 64,4 | 19,5 | 72,2 | 22,3 | 82,6 | 26,4 | 97,8 | 30,5 | 113,0 | 33,3 | 123,3 | 36,8 | 136,3 | 41,9 | 155,2 |
| 60 | 1 | 14,9 | 41,4 | 18,6 | 51,7 | 20,9 | 58,1 | 23,9 | 66,4 | 28,2 | 78,3 | 32,7 | 90,8 | 35,6 | 98,9 | 39,4 | 109,4 | 44,9 | 124,7 |
| 90 | 1,5 | 16,4 | 30,4 | 20,5 | 38,0 | 23,0 | 42,6 | 26,3 | 48,7 | 31,0 | 57,4 | 35,9 | 66,5 | 39,1 | 72,4 | 43,3 | 80,2 | 49,3 | 91,3 |
| 120 | 2 | 17,6 | 24,4 | 21,9 | 30,4 | 24,5 | 34,0 | 28,1 | 39,0 | 33,1 | 46,0 | 38,4 | 53,3 | 41,8 | 58,1 | 46,3 | 64,3 | 52,7 | 73,2 |
| 180 | 3 | 19,3 | 17,9 | 24,0 | 22,2 | 26,9 | 24,9 | 30,8 | 28,5 | 36,4 | 33,7 | 42,1 | 39,0 | 45,9 | 42,5 | 50,8 | 47,0 | 57,8 | 53,5 |
| 240 | 4 | 20,6 | 14,3 | 25,6 | 17,8 | 28,8 | 20,0 | 32,9 | 22,8 | 38,8 | 26,9 | 45,0 | 31,3 | 49,0 | 34,0 | 54,2 | 37,6 | 61,8 | 42,9 |
| 360 | 6 | 22,6 | 10,5 | 28,1 | 13,0 | 31,6 | 14,6 | 36,1 | 16,7 | 42,6 | 19,7 | 49,3 | 22,8 | 53,7 | 24,9 | 59,5 | 27,5 | 67,8 | 31,4 |
| 540 | 9 | 24,8 | 7,7 | 30,9 | 9,5 | 34,6 | 10,7 | 39,6 | 12,2 | 46,8 | 14,4 | 54,1 | 16,7 | 58,9 | 18,2 | 65,3 | 20,2 | 74,3 | 22,9 |
| 720 | 12 | 26,4 | 6,1 | 33,0 | 7,6 | 37,0 | 8,6 | 42,3 | 9,8 | 49,9 | 11,6 | 57,8 | 13,4 | 62,9 | 14,6 | 69,7 | 16,1 | 79,4 | 18,4 |
| 1080 | 18 | 29,0 | 4,5 | 36,2 | 5,6 | 40,6 | 6,3 | 46,4 | 7,2 | 54,8 | 8,5 | 63,4 | 9,8 | 69,0 | 10,6 | 76,4 | 11,8 | 87,1 | 13,4 |
| 1440 | 24 | 31,0 | 3,6 | 38,6 | 4,5 | 43,3 | 5,0 | 49,5 | 5,7 | 58,5 | 6,8 | 67,7 | 7,8 | 73,7 | 8,5 | 81,6 | 9,4 | 93,0 | 10,8 |
| 2880 | 48 | 36,3 | 2,1 | 45,2 | 2,6 | 50,7 | 2,9 | 58,0 | 3,4 | 68,5 | 4,0 | 79,2 | 4,6 | 86,3 | 5,0 | 95,6 | 5,5 | 108,8 | 6,3 |
| 4320 | 72 | 39,8 | 1,5 | 49,6 | 1,9 | 55,6 | 2,1 | 63,6 | 2,5 | 75,1 | 2,9 | 86,9 | 3,4 | 94,7 | 3,7 | 104,8 | 4,0 | 119,4 | 4,6 |
| 5760 | 96 | 42,5 | 1,2 | 52,9 | 1,5 | 59,4 | 1,7 | 67,9 | 2,0 | 80,2 | 2,3 | 92,8 | 2,7 | 101,1 | 2,9 | 111,9 | 3,2 | 127,4 | 3,7 |
| 7200 | 120 | 44,7 | 1,0 | 55,7 | 1,3 | 62,5 | 1,4 | 71,4 | 1,7 | 84,3 | 2,0 | 97,6 | 2,3 | 106,3 | 2,5 | 117,7 | 2,7 | 134,1 | 3,1 |
| 8640 | 144 | 46,6 | 0,9 | 58,0 | 1,1 | 65,1 | 1,3 | 74,5 | 1,4 | 87,9 | 1,7 | 101,8 | 2,0 | 110,8 | 2,1 | 122,7 | 2,4 | 139,8 | 2,7 |
| 10080 | 168 | 48,2 | 0,8 | 60,1 | 1,0 | 67,5 | 1,1 | 77,1 | 1,3 | 91,0 | 1,5 | 105,4 | 1,7 | 114,8 | 1,9 | 127,1 | 2,1 | 144,7 | 2,4 |

Starkniederschlagshöhen und -spenden gemäß KOSTRA-DWD-2020

Rasterfeld 176117

(Zeile 176, Spalte 117)

Örtliche Unsicherheiten in Abhängigkeit von Wiederkehrzeit T und Dauerstufe D

| Dauerstufe D | | Wiederkehrzeit T | | | | | | | | |
|--------------|-----|------------------|-----|-----|-----|------|------|------|------|-------|
| | | 1 a | 2 a | 3 a | 5 a | 10 a | 20 a | 30 a | 50 a | 100 a |
| min | Std | ± % | ± % | ± % | ± % | ± % | ± % | ± % | ± % | ± % |
| 5 | | 13 | 14 | 14 | 15 | 16 | 17 | 17 | 17 | 18 |
| 10 | | 16 | 17 | 18 | 19 | 20 | 21 | 21 | 22 | 22 |
| 15 | | 17 | 19 | 20 | 21 | 22 | 23 | 23 | 24 | 25 |
| 20 | | 18 | 20 | 21 | 22 | 23 | 24 | 25 | 25 | 26 |
| 30 | | 19 | 21 | 22 | 23 | 24 | 25 | 26 | 26 | 27 |
| 45 | | 19 | 21 | 22 | 23 | 25 | 25 | 26 | 27 | 27 |
| 60 | 1 | 19 | 21 | 22 | 23 | 24 | 25 | 26 | 26 | 27 |
| 90 | 1,5 | 18 | 21 | 22 | 23 | 24 | 25 | 25 | 26 | 26 |
| 120 | 2 | 18 | 20 | 21 | 22 | 23 | 24 | 25 | 25 | 26 |
| 180 | 3 | 17 | 19 | 20 | 21 | 22 | 23 | 24 | 24 | 25 |
| 240 | 4 | 16 | 18 | 19 | 20 | 21 | 22 | 23 | 23 | 24 |
| 360 | 6 | 15 | 17 | 18 | 19 | 20 | 21 | 22 | 22 | 23 |
| 540 | 9 | 14 | 16 | 17 | 18 | 19 | 20 | 21 | 21 | 22 |
| 720 | 12 | 14 | 16 | 16 | 17 | 18 | 19 | 20 | 20 | 21 |
| 1080 | 18 | 13 | 15 | 16 | 16 | 17 | 18 | 19 | 19 | 20 |
| 1440 | 24 | 13 | 14 | 15 | 16 | 17 | 18 | 18 | 18 | 19 |
| 2880 | 48 | 13 | 14 | 14 | 15 | 16 | 16 | 17 | 17 | 18 |
| 4320 | 72 | 13 | 14 | 14 | 15 | 15 | 16 | 16 | 17 | 17 |
| 5760 | 96 | 14 | 14 | 14 | 15 | 15 | 16 | 16 | 16 | 17 |
| 7200 | 120 | 14 | 14 | 15 | 15 | 15 | 16 | 16 | 16 | 17 |
| 8640 | 144 | 15 | 15 | 15 | 15 | 15 | 16 | 16 | 16 | 17 |
| 10080 | 168 | 15 | 15 | 15 | 15 | 16 | 16 | 16 | 16 | 17 |

Parameter für abweichende T und D

Lokationsparameter ξ (Xi)

15,04660561

Skalenparameter α (Alpha)

5,14909692

Formparameter κ (Kappa)

-0,1

1. Koutsoyiannis-Parameter θ (Theta)

0,00766994

2. Koutsoyiannis-Parameter η (Eta)

0,77251892

Parameter für dauerstufenübergreifende Extremwertschätzung nach KOUTSOYIANNIS et al. 1998.

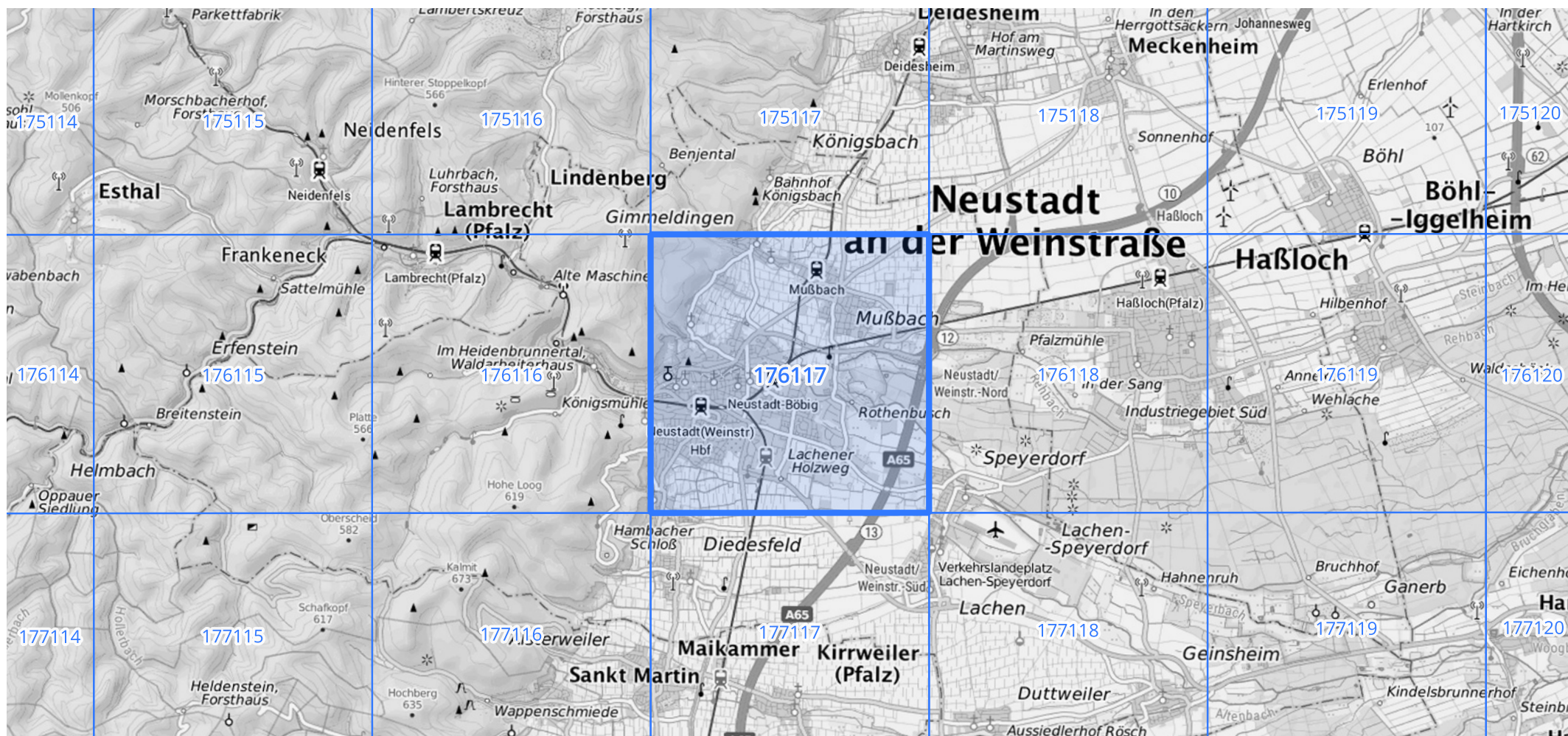
Siehe auch Anwendungshilfe zu KOSTRA-DWD-2020 des Deutschen Wetterdienstes.

Starkniederschlagshöhen und -spenden gemäß KOSTRA-DWD-2020

Rasterfeld 176117

(Zeile 176, Spalte 117)

Übersichtskarte des Rasterfeldes 176117, M 1 : 100 000



Quelle Rasterdaten: KOSTRA-DWD-2020 des Deutschen Wetterdienstes, Stand 12/2022.

Seite 3 von 3

Kartendarstellung: © Bundesamt für Kartographie und Geodäsie (2023), Datenquellen: https://sgx.geodatenzentrum.de/web_public/gdz/datenquellen/Datenquellen_TopPlusOpen.html

Für die Richtigkeit und Aktualität der Angaben wird keine Gewähr übernommen. Erstellt 01/2023.